

УДК 535.37 : 548.0

## ЛЮМИНЕСЦЕНЦИЯ ОКТАЭДРИЧЕСКИХ ЦЕНТРОВ U(VI) В КРИСТАЛЛЕ NaF

*H. I. Алешикевич, B. B. Сытко, Ю. И. Красилов и Е. Ф. Титков*

Проведен анализ и интерпретация электронно-колебательных спектров кристалла NaF-U (VI) с учетом данных по ИК поглощению. Выявлены три типа примесных центров, обусловливающих спектроскопические свойства кристалла, и обсуждается их природа. На основе анализа спектроскопических данных рассчитаны межатомные расстояния, силовые постоянные и кратности связей примесных центров в основном и первом возбужденном состоянии. Показано, что при возбуждении центров происходит изменение зарядового состояния урана, а спектроскопические свойства примесных центров могут быть объяснены в рамках предположения о их «квазиуранильной» природе, являющейся промежуточной между уранильной и уранатной.

Спектроскопическому исследованию кристаллов, активированных шестивалентным ураном, посвящено большое количество работ. Наиболее изучены кристаллы окислов [1-6], у большинства из которых за зеленую люминесценцию отвечает уранатная группа  $UO_6^6-$ . В ряде случаев люминесценцию приписывают уранилу  $UO_2^{2+}$  [2]. Исследовались люминесцентные свойства урановых центров и в щелочно-галоидных кристаллах [6-15], однако и в этом случае нет единого мнения о природе центров люминесценции. Так, в [7] считают, что она обусловлена группой  $UO_6^6-$ , а в [13] люминесценцию приписывают тетраэдрическому уранату  $UO_4^{4-}$ . В работах [8-12] показано, что люминесцирующие центры U(VI) в ЩГК должны иметь симметрию  $C_{2v}$  и  $C_{4v}$ . Авторы [5] считают, что в зависимости от условий роста кристаллов возможно образование центров типа  $UO_6^{6-}$ ,  $UO_5F^{5-}$  и  $UO_4F_2^{4-}$ . Характер взаимодействия примесных центров с решеткой кристалла-матрицы не анализировался.

Настоящая работа посвящена анализу вибронной структуры электронно-колебательных спектров кристалла NaF-U(VI), выяснению природы и особенностей взаимодействия примесных центров с решеткой кристалла.

Кристаллы NaF-U(VI) были выращены в ИК АН СССР. Примесь вводилась в шихту в виде уксуснокислого уранила (0.03%), а исходная смесь выдерживалась на воздухе в течение 10 часов при температуре 40° С. Рост кристаллов проводился методом Киропулоса при  $T=1100^\circ\text{C}$  в воздушной атмосфере.

Спектры люминесценции монокристалла NaF-U(VI) были получены на спектрометре ДФС-12. Люминесценцию возбуждали излучением ксеноновой лампы ДКсШ-1000 через монохроматор ДМР-4. Спектральная ширина полос возбуждения была постоянной на всех длинах волн ( $\sim 200 \text{ см}^{-1}$ ). Свечение регистрировалось ФЭУ-106 с последующим увеличением сигнала и выдачей его либо в цифровом виде, либо с записью на самописец. Спектры поглощения в видимой и ИК области регистрировались на монокристаллах толщиной  $0.1 \div 20 \text{ мм}$  на спектрофотометрах «Specord UV Vis» и «Specord-75 IR». Спектры в далекой ИК области получены на фурье-спектрометре «Polytek FIR-30» на поликристаллических образцах (сuspensia в вазелине).

Исследование спектров поглощения и люминесценции кристалла NaF-U(VI) проводилось при 300 и 80 К. Спектры уже при 300 К имеют вибронную структуру, которая при 80 К становится достаточно четкой (рис. 1). Спектры люминесценции заметно не зависят от длины волны возбуждения, однако отсутствие зеркальной симметрии спектров поглощения и люминесценции, а также

наличие нескольких резонансно совпадающих линий говорит в пользу многоцентрового характера спектров. В спектрах ИК поглощения при 300 К наблюдается полоса  $828 \text{ см}^{-1}$ , «плечо» около  $730 \text{ см}^{-1}$ , а в низкочастотной ИК области — широкая полоса с максимумом около  $260 \text{ см}^{-1}$  и полоса  $70 \text{ см}^{-1}$ . При низких температурах спектр ИК поглощения обнаруживает, несмотря на относительно большой «фон» поглощения кристалла-матрицы, значительно большее количество полос (рис. 2). Анализ одно- и двухфононных функций

распределения частот в кристалле NaF [16] показывает, что спектр поглощения кристалла NaF-U(VI) в области  $0 \div 500 \text{ см}^{-1}$  определяется главным образом поглощением матрицы.

Сопоставление низкотемпературных спектров поглощения и люминесценции кристалла NaF-U(VI) (рис. 1 и табл. 1 и 2) позволило нам выделить три чисто электронных перехода на частотах  $\nu_0$  (I) =  $18084 \text{ см}^{-1}$ ,  $\nu_0$  (II) =  $= 18130 \text{ см}^{-1}$  и  $\nu_0$  (III) =

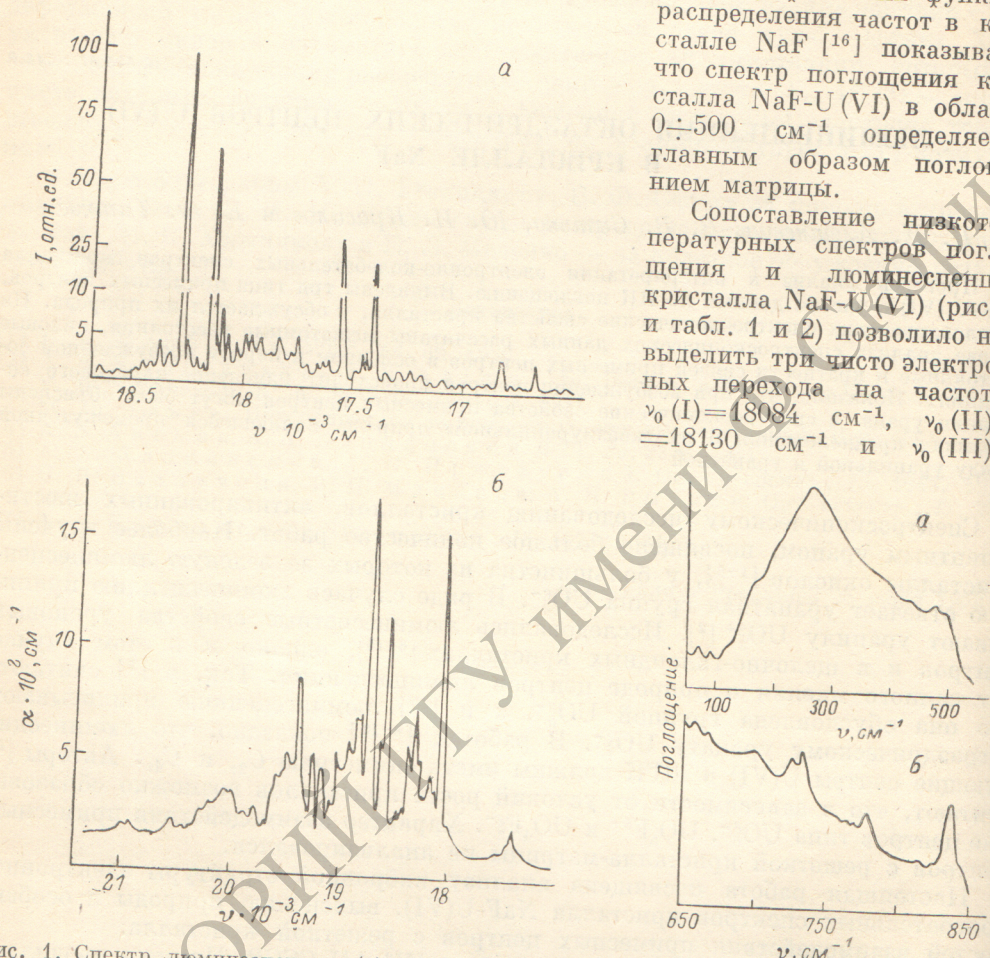


Рис. 1. Спектр люминесценции (а) и поглощения (б) кристалла NaF, активированного U(VI), при 80 К.

Рис. 2. ИК спектры поглощения кристаллов NaF, активированных U(VI), при 80 К.  
а — суспензия в вазелине, б — монокристалл.

$= 18268 \text{ см}^{-1}$ , которые следует приписать примесным центрам трех различных типов. Сама вибронная структура электронно-колебательных спектров связана со спецификой электронно-колебательного взаимодействия в центре свечения и электрон-фононным взаимодействием этих центров с матрицей.

В спектре люминесценции кристалла NaF-U(VI) при малых концентрациях активатора можно выделить две серии линий с частотами

$$\nu_i \text{ (II)} = \nu_0 \text{ (II)} - 732n - 390m - \nu_k, \quad (1)$$

$$\nu_i \text{ (III)} = \nu_0 \text{ (III)} - 725n - 308m - \nu'_k, \quad (2)$$

$$n = 0, 1, 2; m = 0, 1, 2, 3, 4,$$

причем частоты 732 и 390, а также 725 и 308  $\text{см}^{-1}$  взаимодействуют и могут комбинировать друг с другом. Значения частот  $\nu_k$  и  $\nu'_k$  приведены в табл. 1.

Таблица 1  
Полосы спектра люминесценции кристалла NaF-U (VI) (80 К),  
их интенсивность и отнесение

$\nu \pm 2$ , $\text{см}^{-1}$	$I$ , отн. ед.	Отнесение	$\nu \pm 2$ , $\text{см}^{-1}$	$I$ , отн. ед.	Отнесение
18841	3		17611	32	$\nu_0$ (III) — 658
18719	6		17543R	300	$\nu_0$ (III) — 725
18666	16		17482	20	$\nu_0$ (II) — 390—258
18618R	4	$\nu_0$ (III) + 350	17452R	40	$\nu_0$ (III) — 725—91
18580R	7	$\nu_0$ (II) + 450	17430	38	
18485	12		17398	220	$\nu_0$ (II) — 732
18453	23		17394	10	$\nu_0$ (III) — 308—258
18418R	20	$\nu_0$ (III) + 150	17350	20	$\nu_0$ (III) — 2 · 390
18368R	48		17344	12	$\nu_0$ (III) — 3 · 308
18326	31		17285	14	$\nu_0$ (III) — 725—258
18268R	1000	$\nu_0$ (III)	17235	23	$\nu_0$ (III) — 725—308
18246R	47		17186	18	$\nu_0$ (III) — 725—357
18198	26	$\nu_0$ (III) — 70	17140	11	$\nu_0$ (II) — 732—258
18177R	20	$\nu_0$ (III) — 91	17092	12	$\nu_0$ (II) — 2 · 390—258
18130R	644	$\nu_0$ (II)	17086	6	$\nu_0$ (III) — 3 · 308—258
18108	54		17036	8	$\nu_0$ (II) — 732—390
18084R	84	$\nu_0$ (I)	17008	6	$\nu_0$ (III) — 3 · 390
18060	55	$\nu_0$ (II) — 70	16960	6	$\nu_0$ (II) — 725—633
18010R	45	$\nu_0$ (III) — 258	16710	7	$\nu_0$ (III) — 725—658
17982	55		16885	8	$\nu_0$ (III) — 2 · 725
17960	54	$\nu_0$ (III) — 308	16818	43	$\nu_0$ (III) — 3 · 308—258
17911	53	$\nu_0$ (III) — 357	16778	5	$\nu_0$ (II) — 2 · 725—91
17872	35	$\nu_0$ (II) — 258	16727	8	$\nu_0$ (II) — 3 · 390—258
17826	50	$\nu_0$ (I) — 258	16702	6	$\nu_0$ (II) — 2 · 732
17768	32		16666	35	$\nu_0$ (III) — 2 · 725—308
17740	55	$\nu_0$ (II) — 390	16560	4	$\nu_0$ (III) — 2 · 725—357
17702	19	$\nu_0$ (III) — 308—258	16510	5	$\nu_0$ (II) — 2 · 725—308
17652	21	$\nu_0$ (III) — 2 · 308	16461	4	$\nu_0$ (II) — 2 · 732—258
17635	23	$\nu_0$ (III) — 633	16408	4	$\nu_0$ (II) — 2 · 732—390

Примечание. За 1000 принята интенсивность чисто электронной линии 18268  $\text{см}^{-1}$ . Буквой R обозначены резонансные линии.

Таблица 2  
Полосы спектра поглощения кристалла NaF-U (VI) (80 К),  
их коэффициенты поглощения и отнесение

$\nu \pm 5$ , $\text{см}^{-1}$	$\alpha \cdot 10^2$ , $\text{см}^{-1}$	Отнесение	$\nu \pm 5$ , $\text{см}^{-1}$	$\alpha \cdot 10^2$ , $\text{см}^{-1}$	Отнесение
17424	2.41		19249	5.62	
17452R	1.68	$\nu_0$ (III) — 725—91	19318	2.90	$\nu_0$ (III) + 3 · 350
17543R	1.20	$\nu_0$ (III) — 725	19404	9.17	$\nu_0$ (I) + 2 · 660
18010R	2.41	$\nu_0$ (III) — 258	19480	5.49	$\nu_0$ (II) + 3 · 450
18084R	16.07	$\nu_0$ (I)	19510	4.50	$\nu_0$ (II) + 2 · 690
18130R	3.88	$\nu_0$ (II)	19594	4.36	
18177R	4.75	$\nu_0$ (III) — 91	19602	4.13	$\nu_0$ (III) + 2 · 667
18246R	3.63		19668	1.44	$\nu_0$ (III) + 4 · 350
18268R	5.12	$\nu_0$ (III)	19752	2.65	$\nu_0$ (III) + 2 · 667 + 150
18309	-7.76		19770	2.90	
18368R	5.49		19850	2.65	$\nu_0$ (II) + 2 · 690 + 340
18418R	3.02	$\nu_0$ (III) + 150	19930	2.65	$\nu_0$ (II) + 4 · 450
18470	3.02	$\nu_0$ (II) + 340	19977	3.63	
18580R	12.04	$\nu_0$ (II) + 450	20064	3.76	$\nu_0$ (I) + 3 · 660
18618R	6.12	$\nu_0$ (III) + 350	20200	3.14	$\nu_0$ (II) + 3 · 690
18744	17.17	$\nu_0$ (I) + 660	20269	2.65	$\nu_0$ (III) + 3 · 667
18820	7.38	$\nu_0$ (II) + 690	20380	1.92	$\nu_0$ (II) + 5 · 450
18862	7.13		20419	1.92	$\nu_0$ (III) + 3 · 667 + 150
18935	6.09	$\nu_0$ (III) + 667	20540	2.17	$\nu_0$ (II) + 3 · 690 + 340
18968	4.62	$\nu_0$ (III) + 2 · 350	20724	1.20	$\nu_0$ (I) + 4 · 660
19030	5.62	$\nu_0$ (II) + 2 · 450	20890	2.41	$\nu_0$ (II) + 4 · 690
19085	3.39	$\nu_0$ (III) + 667 + 150	20936	1.68	$\nu_0$ (III) + 4 · 667
19160	4.87	$\nu_0$ (II) + 690 + 340			

Другие колебания сильно подавлены и в спектрах люминесценции не проявляются. Колебательные моды 732, 725, 390 и 308 см<sup>-1</sup> без сомнения следует приписать локальным колебаниям [17] примесных урановых центров в кристалле. Наблюдаемая в спектрах люминесценции и ИК поглощения полоса 258 см<sup>-1</sup> принадлежит оптическим фонам решетки.

В спектре поглощения исследуемого кристалла также наблюдаются серии линий, обусловленные взаимодействием чисто электронных переходов  $\nu_0$  (I),  $\nu_0$  (II) и  $\nu_0$  (III) с локальными колебаниями первого возбужденного состояния центров

$$\nu_i \text{ (I)} = \nu_0 \text{ (I)} + 660n, \quad (3)$$

$$\nu_i \text{ (II)} = \nu_0 \text{ (II)} + 690n + 450m + 340, \quad (4)$$

$$\nu_i \text{ (III)} = \nu_0 \text{ (III)} + 667n + 350m + 150, \quad (5)$$

$$n = 0, 1, 2, 3, 4; m = 0, 1, 2, 3, 4.$$

Надежность предлагаемого отнесения подтверждается данными по измерению кинетики затухания в линиях люминесценции, поляризационными измерениями, хорошим совпадением частот в спектрах люминесценции и ИК поглощения, а также расчетами безразмерных параметров Стокса [17].

Из анализа закономерностей структуры спектров люминесценции и поглощения исследуемого кристалла и данных работ [10, 11] следует, что примесные урановые центры должны иметь низкую симметрию, а сравнение спектров уранильных и уранатных групп показывает, что люминесценция кристаллов NaF-U (VI) должна быть обусловлена примесными центрами типа деформированного октаэдрического уранатного комплекса. Следует считать, что вибронная структура определяется главным образом симметрией координационной сферы примесного центра и наличием выделенной группы O—U—O с кратностью связи уран—кислород, превышающей кратности связи урана с экваториальными лигандами. Это имеет место у кристаллов ураниловых соединений [18]. Отметим, что в [5] показано, что спектры примесного комплекса [U<sup>6+</sup>(O<sup>2-</sup>)<sub>n</sub>] определяются типом симметрии, а не числом атомов кислорода, координированных к урану. Таким образом, наши представления о структуре центров люминесценции в кристалле NaF-U(VI) в целом согласуются с данными работ [6–15]. Однако имеется существенное отличие, которое сводится к тому, что в формировании электронных свойств наряду с атомами уранила принимают участие валентные оболочки экваториальных атомов [19, 20]. Рассматриваемые нами центры являются промежуточными между уранильными и идеальными уранатными и по своим свойствам в основном состоянии ближе к уранильным. В этом случае представляется возможным отнести наблюдавшиеся в спектрах люминесценции и ИК поглощения вибронные моды 732 и 725 см<sup>-1</sup> колебаниям U—O выделенной уранильной группы, а вибронные моды 390 и 308 см<sup>-1</sup> — колебаниям U-Liq в экваториальной плоскости октаэдрически координированных комплексов II и III. Аналогичные отнесения можно сделать и для частот колебаний, наблюдавшихся в спектре поглощения кристалла NaF-U (VI). Такой подход позволяет объяснить существующее противоречие между теоретическими и экспериментальными данными, отмечавшееся в [6].

Для объяснения существования центров различного типа, обозначенных нами I, II, III, мы предположили, что имеем дело с октаэдрически координированными комплексами с вертикальной группой O—U—O, в экваториальной плоскости которой возможно различное соотношение атомов кислорода и фтора. Замена уже одного из шести возможных атомов кислорода в октаэдрическом уранате фтором приводит к сокращению «вертикальной» связи O—U—O и увеличению ее кратности, в то время как в экваториальной плоскости наблюдается увеличение длин и уменьшение кратностей связей U—Liq [21]. Отнесение симметричным колебаниям  $\nu_1$  ( $A_{1g}$ ) вибронных мод 732 и 725 см<sup>-1</sup> позволило нам рассчитать кратности и длины «уранильных» связей в комплексах II и III. При этом мы воспользовались формулой для силовых постоянных  $K_{U-O}$

$$\frac{K_{U-O} - K_{12}}{m_O} = \frac{1}{4} \pi^2 c^2 w_s^2, \quad (6)$$

где  $K_{12}$  — силовая постоянная взаимодействия двух связей U—O,  $m_0$  — масса атома кислорода,  $w_s = v_1 + 8 \text{ см}^{-1}$  [22], а также данными работы [23]. Межатомные расстояния уран — кислород кратности  $n$  оценивались по формуле

$$R_{\text{U-O}} = R_1 - A \lg n, \quad (7)$$

где  $R_1 = 2.07$  — длина связи U—O кратности 1, постоянная  $A$  для связи U—O равна единице. Кратности экваториальных связей U—Li<sub>q</sub> оценивались из соображений их независимости от соотношения экваториальных атомов кислорода и фтора в приближении равенства (6) формальной валентности урана. Более точный расчет возможен при учете вклада каждого из колебаний U—Li<sub>q</sub> в частоты 390 и 308 см<sup>-1</sup>. Для сравнения были проведены расчеты идеального ураната UO<sub>6</sub><sup>6-</sup> ( $\delta$ -UO<sub>3</sub>), примесного октаэдрического комплекса UO<sub>2</sub>Cl<sub>4</sub><sup>2-</sup> в кристалле [24] и «свободного» иона UO<sub>2</sub><sup>2+</sup> (табл. 3). Здесь приведены значения безразмерных стоксовых потерь  $P_{Q_i}$ , характеризующих силы взаимодействия примесных центров с окружающими атомами. Аналогичные расчеты выполнены и для первого возбужденного состояния примесных комплексов типа I—III в кристалле NaF-U (VI).

Таблица 3  
Межатомные расстояния, силовые постоянные, кратности связей и параметры Стокса в октаэдрических комплексах урана

Комплекс (тип центра)	Уранил			Экваториальные лиганды					$P_{Q_i}$
	$v, \text{ см}^{-1}$	$R, \text{ \AA}$	$k \cdot 10^{-5}, \text{ дин/см}$	$n$	$v, \text{ см}^{-1}$	связь	$R, \text{ \AA}$	$k \cdot 10^{-5}, \text{ дин/см}$	$n$
Основное состояние									
UO <sub>6</sub> <sup>6-</sup>	560	2.07	2.62	1	—	—	—	—	—
Центр III в NaF-U	725	1.89	4.32	1.53	308 {	U—O	2.20	1.8	0.745
Центр II в NaF-U	732	1.88	4.40	1.56	390 {	U—F	—	—	0.695
Центр I в NaF-U	744 (ИК)	1.86	4.55	1.61	—	U—O	2.20	1.8	0.745
UO <sub>2</sub> Cl <sub>4</sub> <sup>2-</sup> в CsSnCl <sub>4</sub>	820	1.79	5.50	4.90	279	U—F	—	—	0.695
«Свобод- ный» ура- ний	1065	1.59	9.21	3	—	U—Cl	—	—	0.545
Первое возбужденное состояние									
Центр III в NaF-U	667	1.95	3.66	1.32	350	—	—	—	1.5
Центр II в NaF-U	690	1.92	3.92	1.40	450	U—O	—	—	1.7
Центр I в NaF-U	660	1.97	3.59	1.27	—	—	—	—	1.1

Проведенное выше рассмотрение закономерностей структуры спектров и оценки строения комплексов показывает, что примесные центры в кристалле NaF-U(VI) имеют вид искаженных октаэдрических координированных комплексов со слабым электрон-фононным взаимодействием, которые относительно сильно возмущают решетку матрицы. Центры I типа, несмотря на их максимальную интенсивность в поглощении, практически не люминесцируют при 80 K. Вероятно, это обусловлено тем, что они представляют собой комплексы типа UO<sub>2</sub>F<sub>4</sub><sup>2-</sup> с компенсацией заряда вакансиями Na в ближайших узлах кристаллической решетки. Возникновение такого дефектного центра, сильно связанный атомами F с решеткой матрицы, способствует безызлучательной дезактивации электронно-колебательных состояний комплекса. Центры II и III типа следует рассматривать как комплексы UO<sub>2</sub>(O<sub>2</sub>F<sub>2</sub>)<sup>4-</sup> и UO<sub>2</sub>(O<sub>3</sub>F)<sup>5-</sup>. Понижение

симметрии координационной сферы приводит к появлению высокointенсивных полос валентных колебаний и более разветвленной структуры спектров.

Развиваемые представления коррелируют с анализом электронного строения кислородных соединений урана [19, 20]. Наши расчетные данные для октаэдрического комплекса  $\text{UO}_6^{6-}$  показывают, что в случае идеальной геометрии верхние заполненные состояния в валентной зоне образуются в результате взаимодействия трехкратно вырожденного набора  $T_{1u}$  ( $5f_x^3$ ,  $5f_y^3$ ,  $5f_z^3$ )  $5f$  АО урана с  $2p_\sigma$  АО кислорода. Сокращение связи  $\text{O}-\text{U}-\text{O}$ , вызванное заменой атома кислорода фтором, приводит к стабилизации МО, образованной при взаимодействии  $5f_z^3$  АО урана с  $2p_\sigma$  АО осевых атомов кислорода. В этом случае в образовании верхних заполненных МО будут принимать участие  $5f_{x^3}$  и  $5f_{y^3}$  АО урана, взаимодействующие с  $2p_\sigma$  АО экваториальных атомов кислорода или фтора. Таким образом, рассматриваемые нами электронные переходы в ЩГК, активированных U(VI), имеют характер внутрикомплексного переноса заряда с  $5f$  АО урана на связывающую МО комплекса, что приводит к понижению валентности урана в возбужденном состоянии, как это уже отмечалось в [6].

В целом спектрально-люминесцентные свойства кристалла NaF-U(VI) хорошо описываются в рамках теории примесных центров с локальными колебаниями [17].

В заключение авторы выражают благодарность Г. Ф. Добржанскому за выращивание кристаллов и полезное обсуждение.

#### Литература

- [1] G. Blasse. J. Electrochem. Soc., 115, 738, 1968.
- [2] M. V. Hoffmann. J. Electrochem. Soc., 117, 227, 1970.
- [3] G. Blasse, G. P. M. van den Heuvel. J. Luminesc., 8, 406, 1974.
- [4] J. Th. W. de Haar, G. Blasse. J. Luminesc., 14, 307, 1976.
- [5] G. Blasse. J. Electrochem. Soc., 124, 1280, 1977.
- [6] Д. Е. Онопко, Е. П. Пашнина, Н. В. Старостин. Опт. и спектр., 43, 901, 1977.
- [7] W. A. Runciman. Proc. Roy. Soc., A237, 39, 1956.
- [8] П. П. Феофилов. Опт. и спектр., 7, 842, 1959.
- [9] Л. М. Беляев, Г. Ф. Добржанский, П. П. Феофилов. Изв. АН СССР, сер. физ., 25, 548, 1961.
- [10] А. А. Каплянский, П. А. Москвин. Опт. и спектр., 14, 676, 1963.
- [11] О. Д. Гаврилов, А. А. Каплянский, В. Н. Медведев, Н. А. Москвин. Опт. и спектр., 27, 960, 1969.
- [12] N. B. Manson, G. A. Shah, W. A. Runciman. Sol. St. Commun., 16, 645, 1975.
- [13] W. A. Runciman, E. Y. Wong. J. Chem. Phys., 7, 103, 1969.
- [14] W. A. Runciman, E. Y. Wong. J. Chem. Phys., 71, 1838, 1979.
- [15] K. C. Bleijenberg, C. W. N. Timmermans. Phys. Stat. Sol., A47, 589, 1978.
- [16] Дж. Бирман. Пространственная симметрия и оптические свойства твердых тел, т. 2. Мир, М., 1978.
- [17] К. К. Ребаце. Элементарная теория колебательной структуры примесных центров в кристаллах. Наука, М., 1968.
- [18] C. Görlle-Warland, S. de Jaegere. Spectrochim. Acta, A28, 257, 1972.
- [19] Л. В. Володько, Е. Ф. Титков. ДАН СССР, 237, 884, 1977.
- [20] Н. И. Алексевич, Е. Ф. Титков, А. И. Комяк, В. Г. Шолох. ЖПС, 33, 1060, 1980.
- [21] А. А. Левин, А. П. Клягина, С. П. Долин. ЖНХ, 9, 2307, 1979.
- [22] М. В. Вдовенко, Д. Н. Суглобов, В. А. Красильников. Радиохимия, 5, 311, 1963.
- [23] М. В. Вдовенко, Л. Г. Маширов, Д. Н. Суглобов. ДАН СССР, 167, 1299, 1966.
- [24] C. D. Flint, P. A. Tappert. J. Luminesc., 18/19, 69, 1979.

Поступило в Редакцию 18 мая 1981 г.